

## (26) 発破振動によるトンネルの振動挙動

電力中央研究所

同 正会員

同 正会員

北海道電力(株) 正会員

大成建設(株)

○本荘 靖光

駒田 広也

日比野 敏

藤田 杏悦

沖藤 明

### 1. はじめに

岩盤の爆破による発破振動を近接するトンネル内および周囲岩盤内で観測し、振動の性状およびトンネルの振動挙動を解析した。この目的は、原子力発電所の地下立地に関する研究の一環として、地下空洞の地震時挙動に関する資料を得ることである。もとより自然地震と発破振動とは、その周波数、変位振巾などにかなりの差があるので、一概に発破振動に対する挙動をもって地震時挙動と同一視することはできないが、実体波としての弹性波入力に対する地下空洞の応答としての共通性に着目して観測・検討を行ったのである。以下に結果の概要を述べる。

### 2. 観測の概要

北海道電力(株)が原子力発電所整地工事にともなう発破工事が行なわれ、そのうち55回の発破について、近接する国道トンネル内および周囲岩盤での観測を行なった。付近の地図は図-1に示すとおりであり、第三紀中新世の火山碎屑岩類より成る。観測個所のトンネルは濱原鬼泥岩中にあり、 $T_p = 1.9 \text{ km/s}$ 、下位の石更鬼泥岩は  $T_p = 3.5 \text{ km/s}$  である。また原子力発電所調査資料などより、発破範囲～観測個所間の平均弹性波速度は、 $V_p = 2.5 \sim 3.7 \text{ km/s}$ 、 $T_s = 1.3 \sim 1.8 \text{ km/s}$  と推定される。測定計器の配置は図-2に示すとおりであり、内径約11mのトンネル内および岩盤内に7個、18段分の加速度計を設置し、またトンネル内壁に5個、10段分の歪ゲージを設けた。観測した発破の概要是図-3のとおりであり、爆薬量(ANFO、段発の場合は初段)は最大800kg、爆破距離はあらゆる 150 ~ 500 m の範囲にある。

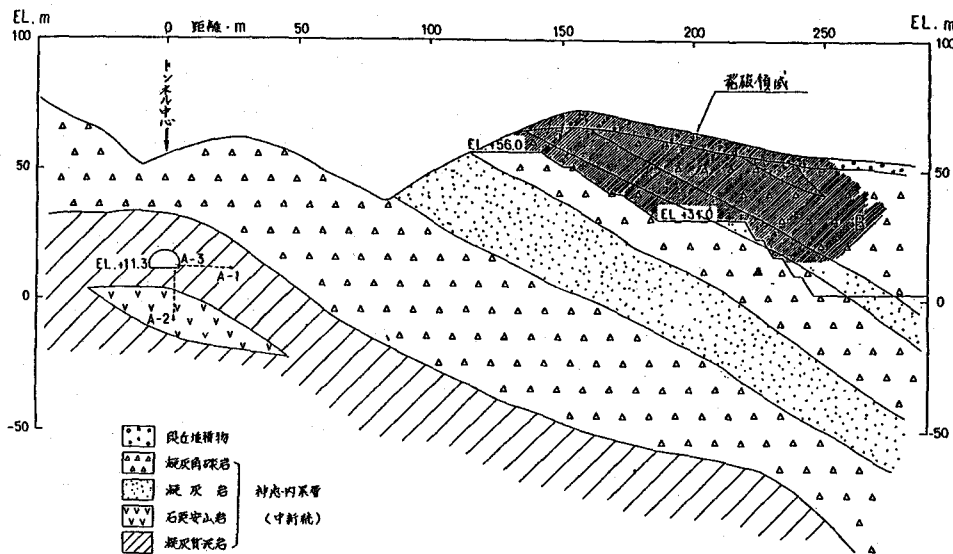
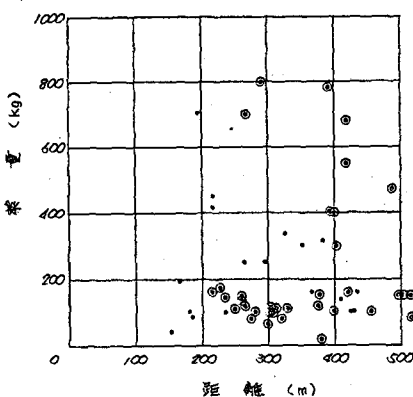


図-1 計測位置～発破点 最短距離 断面図

### 3. 発破振動の性状

今回の観測による発破振動の最大加速度は約80 gal程度、積分による最大速度値は0.7 Kine 速度であった。またFFTによる卓越周波数はありぬく7~30 Hzの範囲にある。トンネル内壁(ライニング)の動量は一般に頂部(S-3)で最も大きく、周方向(X方向)で最大 $3.5 \times 10^4$ 程度である。岩盤内(A-1)と、トンネル内(A-3)の加速度波形の例を図-4に示す。この例を含め、トンネル内自由面の影響による振動波形の変化および壁中の増幅は特たる者には認められない。

発破の質量、距離とか速度の関係を岩盤内(A-1)につけて図-5に示す。この図には、各量相互間の直角度による係数を用いて質量を正規化(500 kg)、距離を正規化(200 m)、および両者を正規化したものを上から順に並べてある。他の例を含め、質量による比例係数(系数)は $A = 0.45 \sim 0.50$ 、距離による係数は $-1.4 \sim -2.1$ の範囲にある。既往の研究、たとえば変位振幅につき $A = 0.67$ とされた例などに比べると質量による係数がやや小なりとみられるが、加速度振幅ではあるため、質量の増大によりより同係数が低下する影響が認められるものと思われる。左み連



注) 質量は初段の値とする

図-3 発破の質量と距離の関係

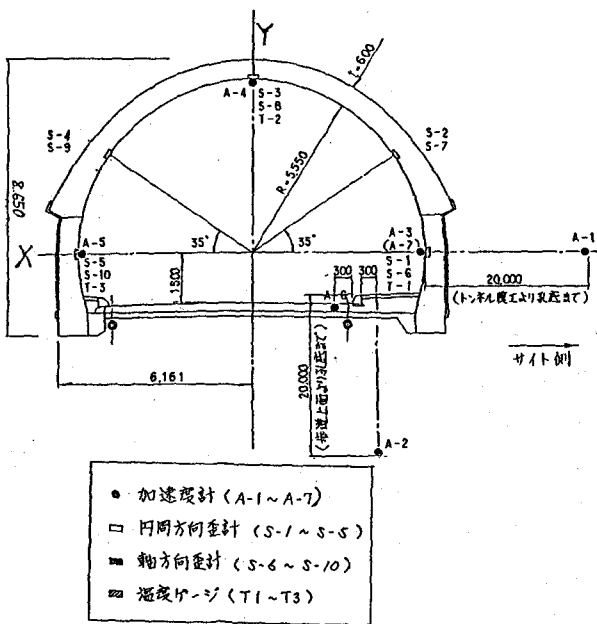


図-2 トンネル内計器設置位置図

NO. 4-2-2

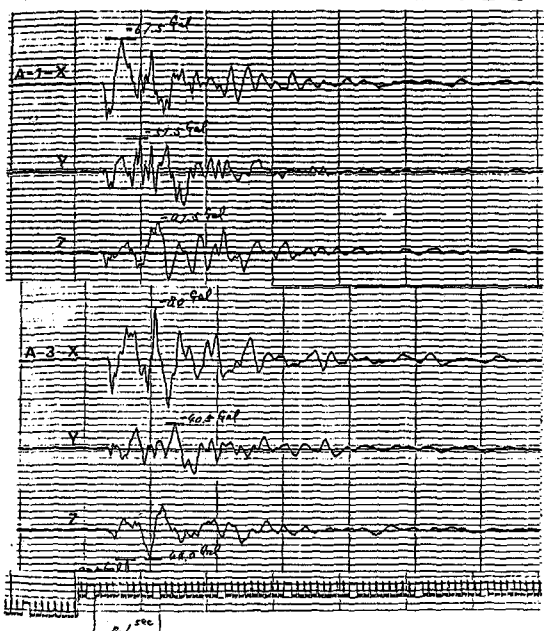


図-4 加速度波形の例

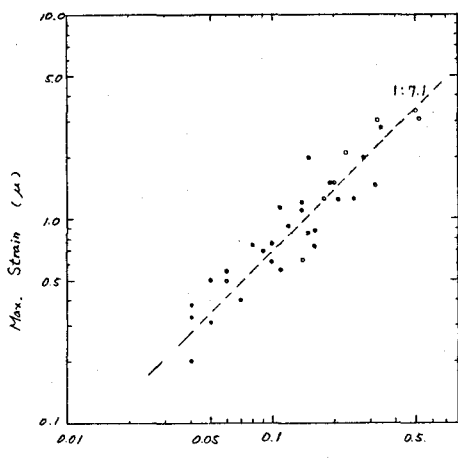
度振巾について求めると  $A \approx 0.5 \sim 0.6$  となる。

トンネル内壁の最大ひずみ量と最大速度値との関係を図-6に示す。発破振動の波形はかなり複雑であるにも拘らず、ひずみ量と速度値の両には定常波の場合に近い比較的良好な比例関係が認められる。

弹性波動(地震波)としての発破振動の性状をしらべるため、岩盤内(A-2)について加速度振巾の軌跡を適当な時間间隔に亘って X-Z面内(水平面内)にプロットした例を図-7に示す。図-7は 0.2 秒間隔であるが、最初の 0.2 秒間では波の進行方向(X 方向)が卓越し、つぎの 0.2 秒間ではそれに直角な方向(Y 方向)に振動が卓越してリスニッピング現象が認められる。実際の波形および到達時間などを考慮すると、これらはそれぞれ弹性波としての P 波成分および S 波成分(この場合 SH 成分)に相当するものと推定される。

#### 4. トンネルの振動挙動

前述のように発破振動の卓越周波数は概ね 7 ~ 30 Hz であり、トンネル内観測個所附近における波長は P 波に対して 60 ~ 260 m と推定される。これはトンネル内径約 11 m に比較してかなり大きめである。



注) Max. Vel. .... V-3, 4, 5 の最大値  
Max. Strain .... S-1, 2, 3, 4, 5 の最大値  
(A 方向)

図-6 最大周方向ひずみと最大速度の相関

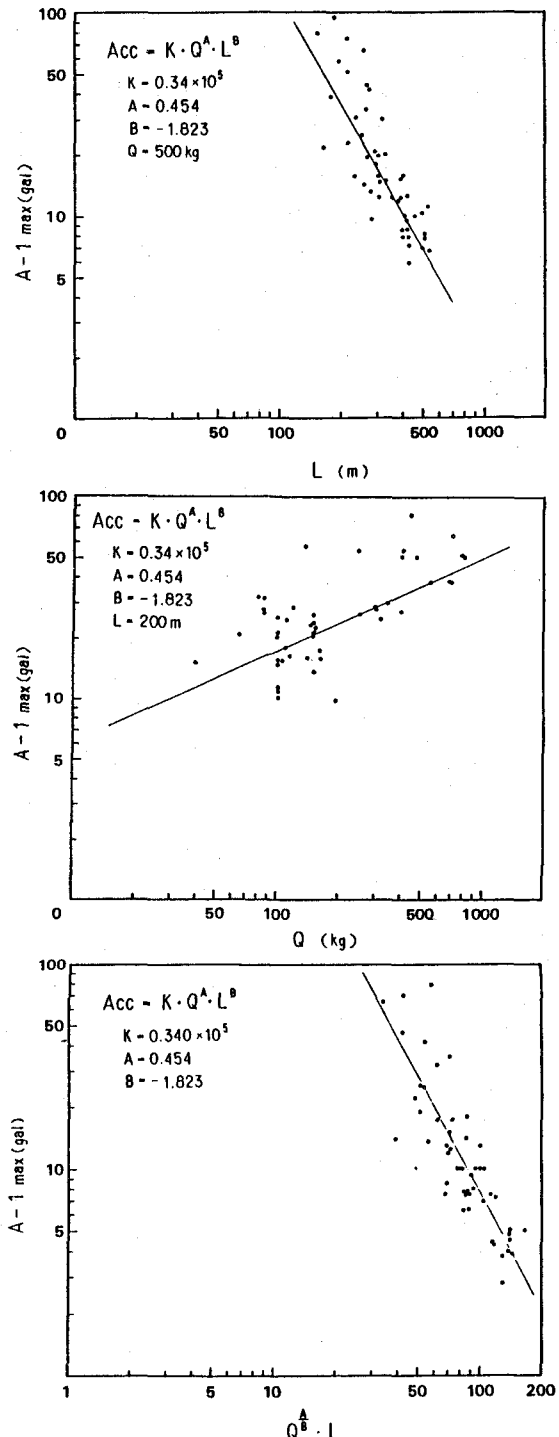


図-5 加速度(A-1)と質量(Q), 距離(L)の関係

であるので、トンネル断面の各部分は、多少の位相差をもちつつもほぼ一的な挙動をすることが予想される。この点を確認するため、側壁の両下端(A-3とA-5)の相対変位量と、頂部のX方向ひずみ量を比較したものが図-8である。各々独立した測定量であるにも拘らず両者の波形(時刻正)はかなり一致しており、トンネルの変形挙動が同一時刻にほぼ対称性を示すことがわかる。之らにトンネルの変形挙動を直観的に理解するため、各部の変位量を時刻正として並べた例を図-9に示す。

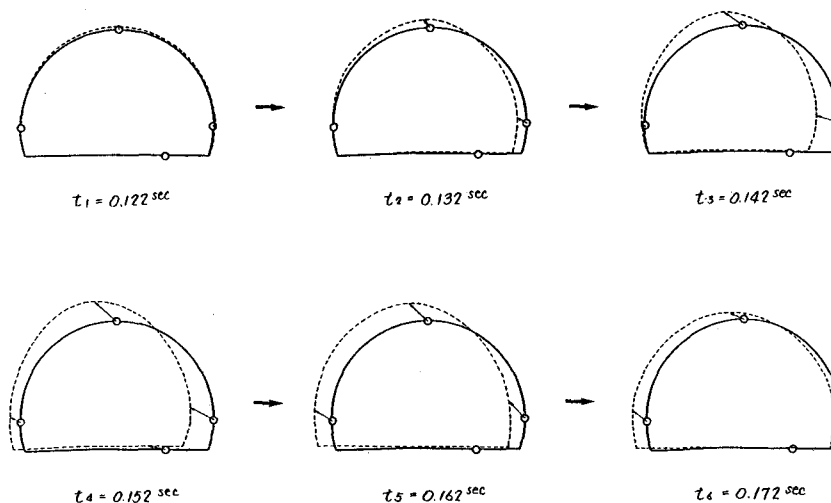
振動の入射方向は図-10の水平方向より僅かに下傾(平均7°)であることが確かめられており、振動の入射によって最初に右側(入射側)が変形するが、遂次全体の変位を生じ、再び原型に復する状況がみとめられる。

### 5. あわりに

今回のようないくつかの測定・解析によって、複雑な波形を示す発破振動に対しても、トンネル空洞の挙動を入射的にはかなりよく把握できるものと考えられ、地下空洞の地震時挙動を検討する有効な資料を得たと考えていい。今後数値シミュレーションなどをやって更に検討する予定である。

今回の測定に際し、多くお世話と御協力をいたした北海道電力(株)

土木部および同社  
原子力建設部各  
位、ならびに大成  
・西松・伊藤・荒  
井JV 原子力土  
木工事や帝円開発  
各位に深く謝意を  
表す。



TOHARI BLAST 14-2-21 図-9

時刻歴分布(変位)

0.1 mm

(26) Behavior of Underground Tunnel and Around Rock Mass  
against Blasting Vibration

Shizumitsu HONSHO

Hiroya KOMADA

Satoshi HIBINO

Central Research Institute of  
Electric Power Industry

Shuetsu FUJITA

Hokkaido Electric Power Company

Akira OKIFUJI

Taisei Corporation

Blasting vibration measurements and analysis on behavior of underground tunnel have been carried out, for the purpose of simulating the behavior of a cavern in case of earthquake. The tunnel is excavated in tertiary pyroclastic rocks, having the size of about 11 m in diameter, and the blasting charge amount was 50 ~ 800 kg, with the distance of 150 ~ 500 m from tunnel. Main obtained results are as follows.

- 1) Maximum acceleration and velocity of vibration measured are about 80 gal and 0.7 kine respectively. Supposing the relation,

$$\text{Acc.} = K \cdot Q^A \cdot L^B \quad (Q : \text{charge amount} \quad L : \text{distance})$$

coefficient A was obtained to be 0.45 ~ 0.50, B: -1.4 ~ -2.1.

- 2) Analysing the particle motion around tunnel, the blasting vibrations are seemed to be the sequence of P-wave and SH- or SV-wave.

- 3) The dominant frequency of vibration are 7 ~ 30 Hz, and the wave length are supposed to be 60 ~ 260 m for P-wave. It means that the behavior of tunnel against blasting vibration may be not so irregular at each side in the tunnel. This was confirmed through the analysis comparing the strain at tunnel lining and the relative displacement of both side in the tunnel, as the time sequence deformation.